

鳥取大学・工学部 正員 ○ 鈴木 幸一
鳥取大学・大学院 学生員 香川 章

1. すえがき 混合砂よりなる移動河床上に設置された橋脚周辺の静的洗掘(clear water scour)においては、洗掘が進行し掃流力が比較的小さくなると、混合砂中の細かい砂が粗い砂より流出され易いため、細砂のみが洗掘孔から流出する。この粗砂の sorting 現象は、洗掘孔底部における Armour coat の形成と、橋脚後流域での粗砂堆積をもたらす。本研究は、Armour coat の形成が洗掘軽減効果最もとんどる観点から、橋脚周辺で 3 分以下の砂の粒度分布特性を実験的に明らかにすることとするものである。

2. Sorting 現象の概略 図-1 に代表的な形状。橋脚周辺河床砂の洗掘停止後の場所的粒度分布を模式的に示す。図-1 の洗掘孔底部(領域[3][4])が著しく粗粒化されおり、後流部への流出砂は比較的細かい砂(領域[6])と比較的粗い砂(領域[7])とにわかれ堆積しており、洗掘孔斜面(領域[3][5])はもとの混合砂の粒度と全く同じである。

3. 粒度分布の時間的变化 図-2 は円柱橋脚の場合について、図-1 に示す各領域における、通水後 3 分、10 分、30 分における洗掘停止後の河床表面砂の粒径加積曲線を示す。また、図中の実線はもとの河床砂の粒度分布を示す。

領域[1]： 静的洗掘では必ずしも粒度は不变のはずであるが、混合砂中の粗い砂に対する掃流力が個々の砂粒子の限界掃流力を上回っており、時間の経過とともに細かい砂が流出し、粒度が次第に大きくなる傾向が認められる。

領域[2] や [6]： この領域は橋脚の上流側において個々の洗掘孔斜面で異なる。粒度の変化はみられない。これは、洗掘進行とともにこの領域の砂は、水中静止摩擦角で保たれた斜面を滑落するのみで、直接流れて掃流力に受けて流送されるのではないことを示している。

領域[3] や [4]： この領域は、橋脚周辺洗掘孔の底部において流れによる掃流力を直接受ける。洗掘が進行して 30 分間は、砂の粒度分布はもとの混合砂の粒度分布と著しくは違わないが、一定の時間経過後に著しく粗粒化し、これが armour coat の形成され洗掘が停止する。すなわち、armour coat のより以上の洗掘を阻止しており、洗掘軽減法としての捨て砂の効果が期待できることを示している。図中、計算曲線は橋脚側面における

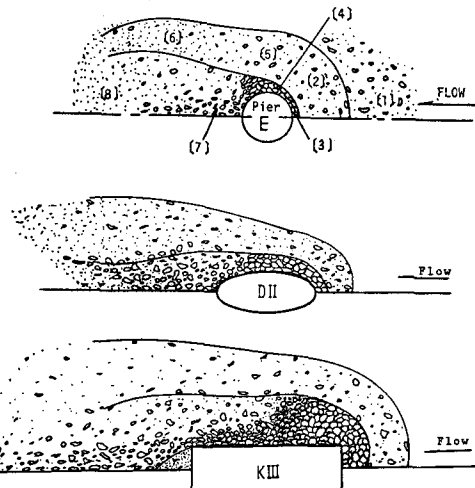
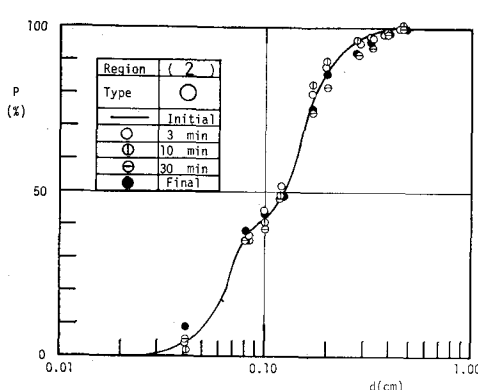
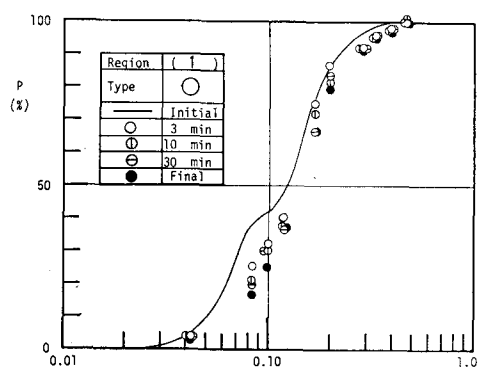


図-1 sorting の模式図



洗掘孔底部での挙流力とが混合砂の限界挙流力を等しくしたとき洗掘が停止するとし、洗掘が始まる前と洗掘が進行した後で、橋脚側面洗掘部を通過する流量が不变であると仮定^{1) 2) 3)}をすれば、Gessler⁴⁾によると計算^{1) 2) 3)}は次の式³⁾となる。

$$\phi \sqrt{z/p} = u_0 h_0 / k_0 D (h_0 + z_s) \quad (1)$$

$$P_A(k) = \int_{k_{min}}^k g \cdot P_0(k) dk / \int_{k_{min}}^{k_{max}} g \cdot P_0(k) dk \quad (2)$$

ここで、 p : 水の密度、 ϕ : 流速係数、 u_0 : 一様流の流速、 h_0 : 一様流の水深、 D : 橋脚幅、 $k_0 D$: 洗掘孔底部幅、 z_s : 橋脚部の洗掘深、 $P_A(k)$: Arman cost の粒度分布関数、 k : 砂粒子径、 k_{min} : 最小砂粒子径、 k_{max} : 最大砂粒子径、 g : 個々の砂粒子に作用する局部挙流力と砂粒子の限界挙流力より小さい確率で³⁾の関数、 $P_0(k)$: もとの混合砂粒径の確率密度関数である。³⁾印が計算曲線に対する実測値である。計算砂粒径が実測よりやや細かくなっているものの、上記のモデル解析によると、洗掘孔底部でのArman cost 粒度分布をある程度推定できる。

領域[6]: この領域は洗掘孔からの洗出砂の堆積領域の一部となって、河床表面は細砂で覆われている。橋脚側面においては、河床近傍の水流が小さいため流れは橋脚間に沿って流れ³⁾、鉛直方向に上向きと流速が大きくなる力の増大、橋脚からの流れの影響³⁾、流れが橋脚から比較的離れた方向に向って流れ³⁾、洗掘初期では挙流力が大きいため細かい砂は巻き上げられ³⁾ての流れによる領域[6]へ運ばれ³⁾が、比較的大きな砂は河床面近くの流れによって転動し、後流域に流送される。

領域[7]および[8]: これらの領域は、橋脚後流域で洗出砂の堆積域である。領域[7]では洗掘初期に急速に粗粒化が起り、以後徐々に細かい砂も増えている。これは、上記述べたように、洗掘初期においては、比較的大きな砂のみが転動してこの領域に入ること、洗掘が進み挙流力が衰えると細かい砂も巻き上げず河床近傍の流れによってこの領域に入ること³⁾である。領域[8]では、洗掘初期には挙流力が大きいため比較的大きな砂まで浮遊流入して³⁾いるが、挙流力が衰えるにつれて細かい砂が流送されやすくなる、洗掘初期に急速に粗粒化し、それ以後も徐々に細粒化している。

4. まとめ 構内柱、角柱周辺河床砂の sorting 現象が円柱の場合とはほぼ同様な特性を示すことが認められた。これにて、これまでの sorting 現象を明かにしたので、今後、特に橋脚周辺の流れの特性との関係から現象の定量的解析を行なう必要がある。(参考文献) 1) Gessler J.: Proc. ASCE, WWHD, 1970, pp.235-248.

2) 中川・鈴木: 京大防災研究所年報, 第18号B, 1979, pp.697-700.

3) 鈴木: 土木学会論文報告集, 第22号, 1953, pp.67-78.

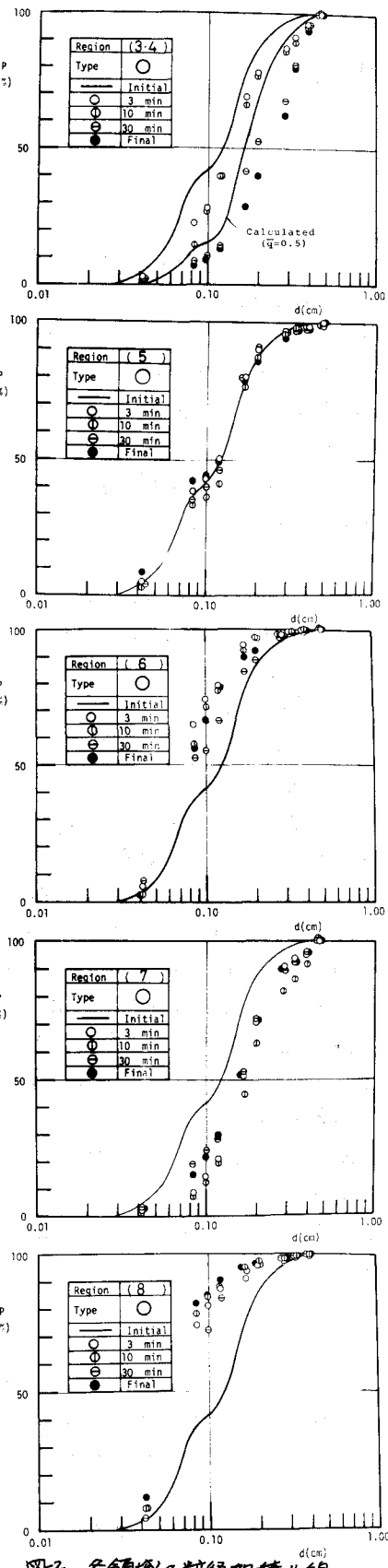


図2 各領域内の粒度分布曲線